

УДК 539.374

О НЕУСТОЙЧИВОСТИ НЕУПРУГОГО ДЕФОРМИРОВАНИЯ МАТЕРИАЛОВ^{*)}

Б.Ф. Иванов, Ю.И. Кадашевич, С.П. Помыткин

Санкт-Петербург

В рамках эндохронной теории неупругости решается задача о возможности появления немонотонного поведения кривых связи напряжений и деформаций. Установлено, что при некоторых условиях, накладываемых на параметр, характеризующий эндохронную теорию при больших деформациях, такая возможность реализуется.

Уже достаточно давно экспериментально были обнаружены факты немонотонного поведения кривых связи напряжений и деформаций при простом (монотонном) деформировании и нагружении. Отметим здесь работы Портевена–Лешателье [1], Савара [2], Массона [3], своеобразные кривые деформирования в экспериментах Монтелье [4]. Теоретически в рамках феноменологического подхода указанные явления до сих пор не находят единого удовлетворительного описания. Все упомянутые явления и аналогичные им, начиная с эффекта Пойнтинга [5] и осцилляции напряжений Рубина [6] и заканчивая явлением ретчета [7] и эффектом Малышева [8, 9], могут быть названы, следуя работе [10], эффектами второго порядка. Предложенная авторами в работе [11] эндохронная теория неупругости, учитывающая конечные деформации, качественно описывает ряд перечисленных эффектов [12–14].

В предлагаемой работе при анализе эффектов второго порядка оценивается роль параметра q , характеризующего эндохронную теорию при больших деформациях. (В эндохронной теории неупругости для малых деформаций $q = 0$.)

1. Используется простейший вариант эндохронной теории неупругости для больших деформаций в виде [12]:

$$\begin{aligned} \tau\sigma + \sigma|D|^* &= 2G(\tau D + k\varepsilon|D|), \\ \dot{\varepsilon} &= D, \quad \Omega = \dot{Q}Q^T, \\ \dot{\varepsilon} + \varepsilon\Omega - \Omega\varepsilon &= \dot{\varepsilon}, \quad |D| = \sqrt{D:D}. \end{aligned} \tag{1}$$

В соотношения (1) в безиндексной форме входят: τ – аналог деформационного предела текучести; σ, ε – девиаторы тензоров напряжений и деформаций; G – модуль сдвига; k – аналог коэффициента упрочнения; Q – ортогональный тензор поворота;

^{*)} Работа выполнена при поддержке Российского фонда фундаментальных исследований (грант 05-01-00169).

Ω – тензор спина; D – девиатор тензора скоростей деформаций; двоеточие означает операцию свертки компонент тензора. Кроме того, здесь используется, что

$$\varepsilon_{ii} = \sigma_{ii}/K,$$

$$D = (L + L^T)/2, \quad L = \dot{F} F^{-1}, \quad Q = F u^{-1},$$

где K – объемный модуль, F – тензор градиента деформаций, L – скорость градиента деформаций, u – правый тензор удлинения в полярном разложении тензора $F = Qu$.

Рассмотрим случай, когда градиент деформаций имеет достаточно простой вид

$$F = \begin{pmatrix} a_1 & mb & 0 \\ b & a_2 & 0 \\ 0 & 0 & a_3 \end{pmatrix}.$$

В этом случае

$$F^{-1} = \frac{1}{\Delta} \begin{pmatrix} a_2 & -mb & 0 \\ -b & a_1 & 0 \\ 0 & 0 & \Delta/a_3 \end{pmatrix}, \quad \Delta = a_1 a_2 - mb^2.$$

Тогда ортогональный тензор поворота Q имеет следующую структуру:

$$Q = \begin{pmatrix} \cos\beta & \sin\beta & 0 \\ -\sin\beta & \cos\beta & 0 \\ 0 & 0 & 1 \end{pmatrix}.$$

Легко проверить, что в этом случае

$$\begin{aligned} \dot{a}_1 a_2 - mb \dot{b} &= \Delta \cdot D_{11}, \\ \dot{a}_2 a_1 - mb \dot{b} &= \Delta \cdot D_{22}, \\ \dot{b}(a_2 + ma_1) - b \left(\dot{a}_2 + m \dot{a}_1 \right) &= 2 \cdot \Delta \cdot D_{12}. \end{aligned} \tag{2}$$

Кроме того,

$$\operatorname{tg}\beta = \frac{b(m-1)}{a_1 + a_2}, \quad \frac{\dot{a}_3}{a_3} = D_{33}, \quad D_{13} = D_{23} = 0. \tag{3}$$

Изучается задача, когда $D_{11} \neq 0, D_{22} \neq 0, D_{22} = -D_{11}, D_{12} \neq 0, D_{13} = D_{23} = 0$.

Тогда система определяющих уравнений (1) примет вид:

$$\begin{aligned} \dot{\varepsilon}_{11} + q\varepsilon_{12} &= D_{11}, \\ \dot{\varepsilon}_{12} - q\varepsilon_{11} &= D_{12}, \end{aligned} \tag{4}$$

$$\begin{aligned}
\dot{\sigma}_{11} + \frac{\sigma_{11}}{\tau} |D| + q\sigma_{12} &= 2G \left(D_{11} + \frac{k}{\tau} \varepsilon_{11} |D| \right), \\
\dot{\sigma}_{12} + \frac{\sigma_{12}}{\tau} |D| - q\sigma_{11} &= 2G \left(D_{12} + \frac{k}{\tau} \varepsilon_{12} |D| \right), \\
\dot{2\beta} &= -q.
\end{aligned} \tag{5}$$

Введем новые обозначения

$$\begin{aligned}
\sigma &= \sigma_{11} + i\sigma_{12}, \\
\varepsilon &= \varepsilon_{11} + i\varepsilon_{12}, \\
D &= D_{11} + iD_{12}.
\end{aligned} \tag{6}$$

Эти величины назовем комплексным напряжением, комплексной деформацией и комплексной скоростью деформации соответственно. Уравнения (4) и (5) в соответствии с обозначениями (6) принимают вид:

$$\begin{aligned}
\dot{\varepsilon} - iq\varepsilon &= D, \\
\dot{\sigma} + \left(\frac{|D|}{\tau} - iq \right) \sigma &= 2G \left(D + \frac{k}{\tau} |\varepsilon| \varepsilon \right).
\end{aligned}$$

При начальных условиях $\sigma(0) = 0$, $\varepsilon(0) = 0$ и задании тензора D нетрудно получить решение

$$\begin{aligned}
\varepsilon &= \int_0^t D(\xi) \{ \cos[B(t) - B(\xi)] - i \cdot \sin[B(t) - B(\xi)] \} d\xi, \\
\frac{\sigma}{2G} &= \int_0^t \left[D(\xi) + \frac{k}{\tau} |D(\xi)| \varepsilon \right] \exp(C(\xi) - C(t)) \times \\
&\quad \times \{ \cos[B(t) - B(\xi)] - i \cdot \sin[B(t) - B(\xi)] \} d\xi,
\end{aligned}$$

здесь

$$B(t) = - \int_0^t q(\xi) d\xi, \quad C(t) = \frac{1}{\tau} \int_0^t |D(\xi)| d\xi.$$

Отделяя вещественные и мнимые части решения, получим:

$$\begin{aligned}
\varepsilon_{11}(t) &= \int_0^t \{ D_{11}(\xi) \cos[B(t) - B(\xi)] + D_{12}(\xi) \sin[B(t) - B(\xi)] \} d\xi, \\
\varepsilon_{12}(t) &= \int_0^t \{ D_{12}(\xi) \cos[B(t) - B(\xi)] - D_{11}(\xi) \sin[B(t) - B(\xi)] \} d\xi, \\
\frac{\sigma_{11}(t)}{2G} &= \int_0^t \exp[C(\xi) - C(t)] \left[\left[D_{11}(\xi) + \frac{k}{\tau} |D(\xi)| \varepsilon_{11} \right] \cos[B(t) - B(\xi)] + \right.
\end{aligned}$$

$$\begin{aligned}
& + \left[D_{12}(\xi) + \frac{k}{\tau} |D(\xi)| \varepsilon_{12} \right] \sin[B(t) - B(\xi)] \Big\} d\xi, \\
\frac{\sigma_{12}(t)}{2G} = & \int_0^t \exp[C(\xi) - C(t)] \left\{ \left[D_{12}(\xi) + \frac{k}{\tau} |D(\xi)| \varepsilon_{12} \right] \cos[B(t) - B(\xi)] - \right. \\
& \left. - \left[D_{11}(\xi) + \frac{k}{\tau} |D(\xi)| \varepsilon_{11} \right] \sin[B(t) - B(\xi)] \right\} d\xi.
\end{aligned}$$

2. Рассмотрим важный частный случай, когда

$$D_{11} = 0, \quad D_{12} = D_{12}^0 = \text{const}, \quad k = 0. \quad (7)$$

Предположим, что $q(t)$ локально интегрируема на $[0, +\infty)$, тогда можно показать, что

$$\lim_{t \rightarrow \infty} \sigma_{11}(t) = 0 \quad \text{и} \quad \lim_{t \rightarrow \infty} \sigma_{12}(t) = D_{12}^0.$$

Кроме того, если $q(t)$ монотонно убывает, $\lim_{t \rightarrow \infty} q(t) = 0$ и существует $\beta = \int_0^\infty q(t) dt \leq \pi/2$, то

$$\dot{\sigma}_{12}(t) > 0.$$

Монотонное возрастание σ_{12} возможно и при $\beta > \pi/2$. Приведем характерный пример.

При м е п 1. Пусть $m = k_0^2$, тогда

$$q = \frac{1-k_0^2}{k_0^2+1} \left\{ 1 + \left[\frac{1+k_0^2}{2k_0} \cdot \operatorname{sh} \frac{2k_0}{1+k_0^2} t \right]^2 \right\}^{-1}.$$

Если $m = 0$, то $q = 1/(1+t^2)$ и $\int_0^\infty q dt = \pi$. На рис. 1 для этого случая приведены графики изменения сдвигового и осевого напряжения от времени ($\tau = 1$, $2G = 1$, $k = 0$, $m = 0$).

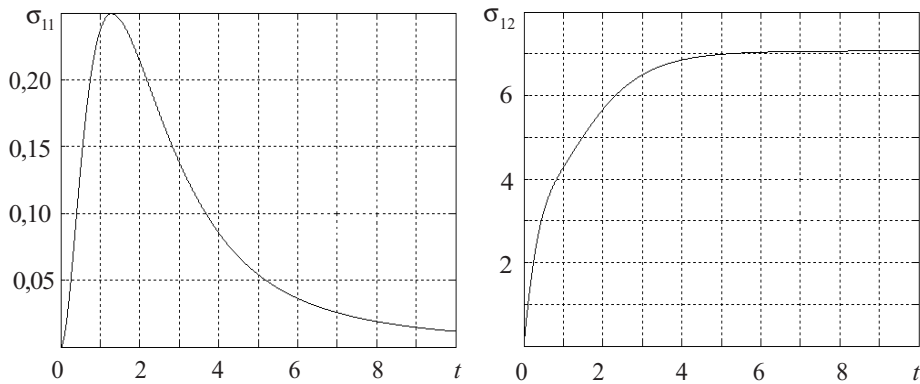


Рис. 1

3. Рассмотрим случай, когда помимо (7) выполняется условие $q = q_\infty = \text{const}$. Тогда, если $q = 0$, система (4)–(5) имеет единственную точку покоя $Q(0, 1)$, являющуюся центром, и решение $\sigma(t)$, начинающееся в точке $(0, 0)$, идет в эту точку по мнимой оси. Если же $q_\infty \neq 0$, то у системы будет единственная точка покоя

$$Q_\infty = \left(\frac{-q_\infty}{1+q_\infty^2}, \frac{1}{1+q_\infty^2} \right),$$

являющаяся фокусом, и решение, начинающееся в точке $(0, 0)$ при $q_\infty > 0$, располагается в левой полуплоскости комплексной переменной, наматываясь на точку Q_∞ против часовой стрелки. При $q_\infty \neq 0$ решение целиком располагается выше оси σ_{11} и ниже прямой $\sigma_{12} = D_{12}^0$. Отметим, что скорость напряжений при этом условии не остается знакопостоянной, то есть процесс решения оказывается осциллирующим по скорости изменения напряжений.

4. Рассмотренные авторами другие примеры также показали, что и при переменном q , не удовлетворяющем условиям п.3, возникают осциллирующие изменения скоростей напряжений.

Пример 2. Пусть $m = -l^2$, тогда

$$q = \frac{l^2 + 1}{1 - l^2} \left\{ 1 + \left[\frac{1 - l^2}{2l} \cdot \sin \frac{2l}{1 - l^2} t \right]^2 \right\}^{-1}.$$

При $m \rightarrow -1$ значение q велико и практически величина постоянная, а кривые $\sigma_{12}(t)$ и $\sigma_{11}(t)$ имеют колебательный характер. На рис. 2 приведен типичный пример поведения $\sigma_{12}(t)$ при условии, что

$$\tau = 1/q, k = 1, l = 0,8, 2G = 2q(1 + \lambda), d\lambda = \sqrt{d\varepsilon : d\varepsilon}.$$

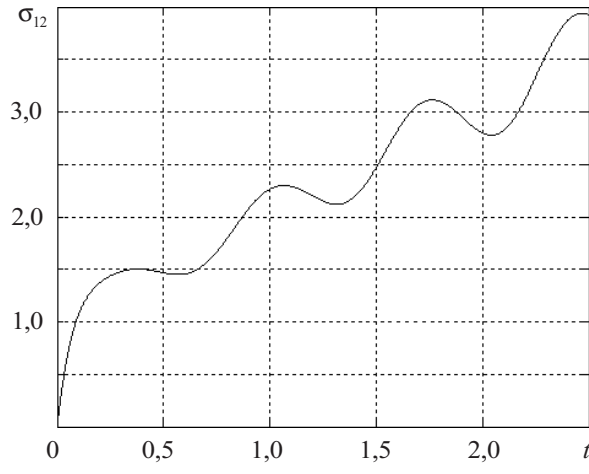


Рис. 2

Таким образом, показано, что в зависимости от значения m величина параметра эндохронной неупругости q может иметь различный характер изменения и, как следствие, может возникать как монотонное, так и колебательное изменение скоростей напряжений.

Литература

1. Porteven, A. Sur un phenomene observe lors de l'essai de traction d'alliages en cours de transformation / A. Porteven, F. LeChatelier // Comp. Rend. Acad. Sci. Paris. – 1923. – Vol. 176. – P. 507–510.
2. Savart, F. Recherches sur les vibration longitudinales / F. Savart // Annales de Chimie et de Physique. Deuxieme serie. – 1837. – Vol. 65. – P. 337–402.
3. Masson, A. Sur elasticite des corps solides / A. Masson // Annales de Chimie et de Physique. Troisieme serie. – 1841. – Vol. 3. – P. 451–462.
4. Montheillet, F. Axial stresses and texture development during the torsion testing of Al, Cu, α -Fe / F. Montheillet, M. Cohen, J.J. Jonas // Acta Metallurgica. – 1984. – Vol. 32. – P. 2077–2089.
5. Poynting, J.H. On pressure perpendicular to the shear planes in finite pure shears, and on the lengthening of loaded wires when twisted / J.H. Poynting // Proceedings of Royal Society. London. A. – 1909. – Vol. 82. – P. 546–559.
6. Rubin, M.B. Plasticity theory formulated in terms of physically based microstructural variables. Part II. Examples / M.B. Rubin // International Journal of Solids and Structures. – 1994. – Vol. 31, N19. – P. 2635–2652.
7. Delobelle, P. Experimental study and phenomenological modelization of ratchet under uniaxial and biaxial loading on an austenitic steel / P. Delobelle, P. Robinet, L. Bocher // International Journal of Plasticity. – 1995. – Vol. 11, N4. – P. 397–421.
8. Малышев, Б.М. Пластическое течение при совместном непрерывном растяжении и кручении под действием малых крутящих моментов / Б.М. Малышев // Вестник Московского университета. Математика, механика, астрономия, физика, химия. – 1958. – №1. – С. 55–68.
9. Малышев, Б.М. Пластическое течение при совместном непрерывном растяжении и кручении под действием малых крутящих моментов / Б.М. Малышев // Вестник Московского университета. Математика, механика, астрономия, физика, химия. – 1958. – №2. – С. 33–46.
10. Георгиевский, Д.В. Тензорно нелинейные эффекты при изотермическом деформировании сплошных сред / Д.В. Георгиевский // Успехи механики. – 2002. – Т.1, №2. – С. 150–176.
11. Кадашевич, Ю.И. Новые принципы составления определяющих уравнений эндохронной теории пластичности при конечных деформациях / Ю.И. Кадашевич, С.П. Помыткин // Машины и аппараты целлюлозно-бумажного производства: Межвуз. сб. науч. трудов. СПб: Изд-во СПбГТУРП. – 1996. – С. 124–127.
12. Кадашевич, Ю.И. Анализ сложного нагружения при конечных деформациях по эндохронной теории неупругости / Ю.И. Кадашевич, С.П. Помыткин // Прикладные проблемы прочности и пластичности: Межвуз. сб. / Нижегород. ун-т. – 1998. – Вып. 59. – С. 72–76.
13. Кадашевич, Ю.И. Новый взгляд на построение эндохронной теории пластичности при учете конечных деформаций / Ю.И. Кадашевич, С.П. Помыткин // Научно-технические ведомости СПбГТУ. – СПб: Изд-во СПбГТУ. – 2003. – №3. – С. 96–103.
14. Кадашевич, Ю.И. О расширении возможностей эндохронной теории неупругости, учитывающей конечные деформации / Ю.И. Кадашевич, С.П. Помыткин // Проблемы прочности и пластичности: Межвуз. сб. / Нижегород. ун-т. – 2004. – Вып. 66. – С. 31–34.

[01.12.2006]

ON THE ISSUE OF INSTABILITY OF INELASTIC DEFORMATION OF MATERIALS

B.F. Ivanov, Yu.I. Kadashevich, S.P. Pomytkin

The problem of possibility of non-monotonous behavior of stress-strain curves is analyzed in the frame of the endochronous theory of inelasticity. It is found that for certain constraints imposed on parameter of endochronous inelasticity such a possibility exists.